

AgBiSCl₂ 光电与热电性能的第一性原理研究

王思航^{1) #} 陈梦菡^{2) #} 张丽萍^{1) †}

1)(中国矿业大学材料与物理学院, 徐州 221116)

2)(中国矿业大学力学与土木工程学院, 徐州 221116)

同等贡献作者

† 通信作者. E-mail:3391@cumt.edu.cn

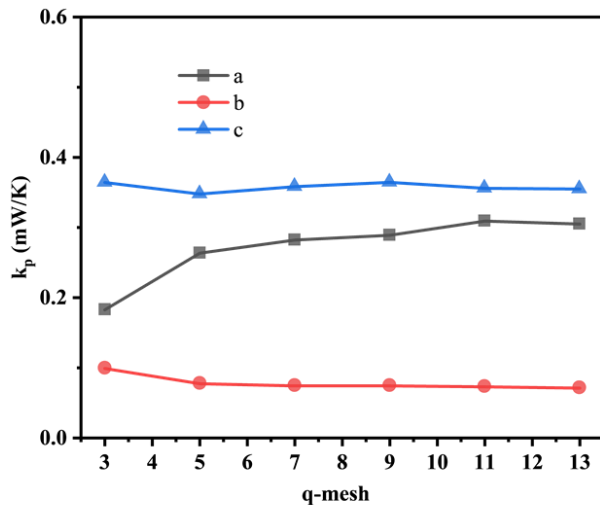


图 S1 300 K 下晶格热导率和 q 点密度的关系

Fig. S1. Relationship between lattice thermal conductivity and q -point density at 300 K.

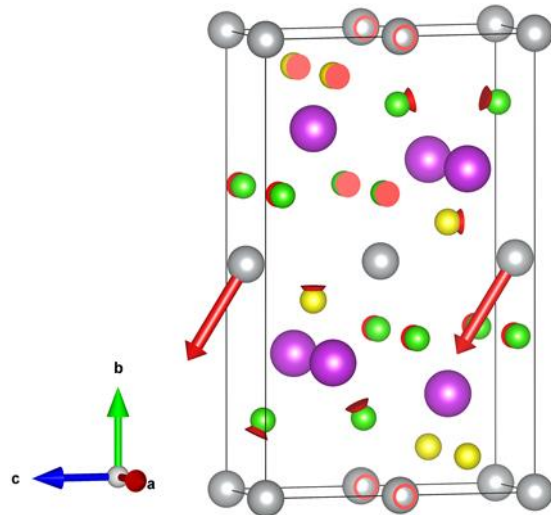


图 S2 LA 分支在 R 点的振动可视化(箭头大小代表位移向量大小)

Fig. S2. Visualization of the LA branch vibrations at the R point (arrow size represents the magnitude of the displacement vectors).

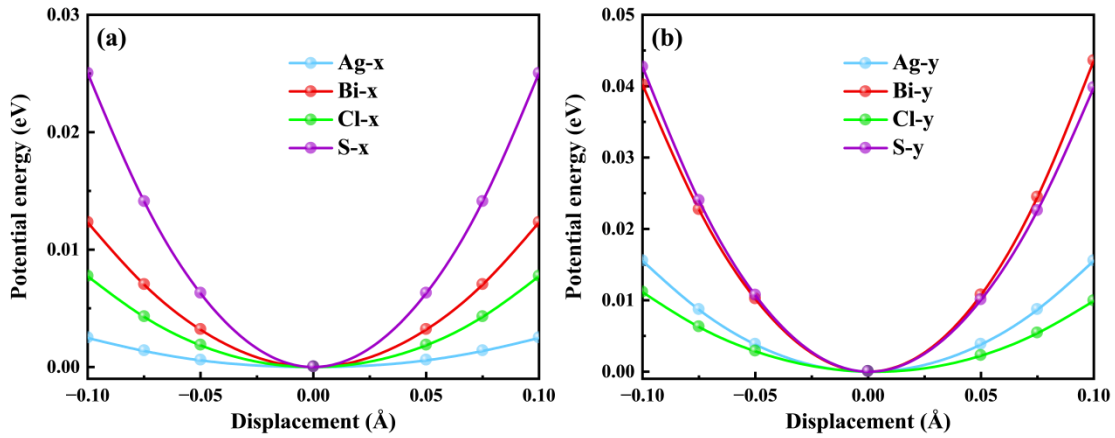


图 S3 AgBiSCl_2 所有原子的势能曲线, 即其作为沿 (a) x 和(b) y 方向的平衡位置周围位移的函数

Fig. S3. Potential energy curves of all atoms in AgBiSCl_2 as a function of displacement around the equilibrium position along (a) the x direction and (b) the y direction.

表 S1 AgBiSCl_2 的晶格常数 (a, b 和 c)、体积模量 (B)、剪切模量 (G)、杨氏模量 (Y)、泊松比 (v) 和德拜温度 (θ_D)

Table S1. Lattice constants (a, b , and c), bulk modulus (B), shear modulus (G), Young's modulus (Y), Poisson's ratio (v), and Debye temperature (θ_D) of AgBiSCl_2 .

Parameters	当前计算	实验值
$a/\text{\AA}$	4.07	3.97
$b/\text{\AA}$	14.17	13.71
$c/\text{\AA}$	8.69	8.82
B/GPa	45.31	—
G/GPa	20.65	—
$B-G$	2.19	—
Y/GPa	53.79	—
v	0.30	—
θ_D/K	219	—